

نشریه علمی- پژوهشی جغرافیا و برنامه‌ریزی (دانشگاه تبریز)، سال ۱۶، شماره ۳۹، بهار ۱۳۹۱، صفحات ۴۹-۲۵

تاریخ پذیرش نهایی: ۱۳۹۰/۰۳/۱۳ تاریخ دریافت: ۱۳۸۰/۰۸/۱۳

## تأثیر نوسانهای دمای سطح آب دریای مدیترانه بر بارش پایکوههای شرقی زاگرس و چالههای مرکزی ایران

سعید جهانبخش اصل<sup>۱</sup>

بتول زینالی<sup>۲</sup>

طاهره جلالی<sup>۳</sup>

### چکیده

در این پژوهش میزان تأثیر فصلی دمای سطح آب دریای مدیترانه<sup>۴</sup> (Mediterranean SST) بر بارشهای فصلی پایکوههای شرقی زاگرس و چالههای مرکزی ایران بررسی شده است. بدین منظور ابتدا دورههای گرم، سرد و پایه (شرط معمولی دمای سطح آب دریای مدیترانه) برای دادههای فصلی MedSST در دوره آماری ۱۹۷۰-۲۰۰۵<sup>۵</sup> تعریف شد و سپس میانه آماری بارش در هر دوره با عنوانین (به ترتیب Rb.Rc.Rw<sup>۶</sup>) برای همه ایستگاهها محاسبه گردید و از مقادیر نسبتهای Rb/Rc, Rb/Rw, Rc/Rw و Rb/Rc محاسبه شد. نتایج نشان داد زمانی که در فصل زمستان MedSST سردر از معمول باشد، بارش زمستانه منطقه بارش استفاده شد. نتایج نشان داد نسبتی از معمول آن در فصل پاییز باعث افزایش بارش پاییزه منطقه میشود. نتایج حاصل از همبستگی نشان داد که بین نوسانات SST و بارش در فصل زمستان همبستگی منفی، بین نوسانات SST و بارش در فصل پاییز همبستگی مثبت و بین نوسانات MedSST در فصل پاییز و بارش زمستانه ایستگاههای مورد مطالعه همبستگی منفی وجود دارد که در تعدادی از ایستگاهها به صورت معنیدار در سطح ۰/۹۵ و ۰/۹۹ درصد میباشد. بین نوسانات MedSST در فصل تابستان و بارش پاییزه ایستگاههای مورد مطالعه همبستگی مشاهده نشد. اما تمایل نسبتاً مشخصی بین افزایش بارش پاییزه با دمای گرم مدیترانه ملاحظه میشود.

**واژگان کلیدی:** SST، پیشینی، نوسان بارش، مدیترانه، پایکوههای شرقی زاگرس، چالههای مرکزی ایران.

Email:sjahan@tabrizu.ac.ir.

۱- عضو هیات علمی دانشگاه تبریز، استاد گروه جغرافیای طبیعی.

۲- دانشجوی دکتری جغرافیای طبیعی (کلیمانلولوژی) دانشگاه تبریز.

۳- دانشجوی دکتری جغرافیای طبیعی (کلیمانلولوژی) دانشگاه تبریز.

۴- Mediterranean Sea Surface Temperature.

۵- Rain Median of Warm period, Rain Median of Cold period and Rain Median of Base period of Mediterranean SST.



## مقدمه

هیچ منطقه‌ای از نظر اقلیمی مستقل نیست، بلکه الگوی اقلیمی غالب در یک منطقه، منطقه دیگر را نیز تحت تأثیر خود قرار میدهد، زیرا با وجود اختلافات اقلیمی بین مناطق مختلف و بخصوص مناطق حاره و مناطق برون حاره، رابطه سیستماتیک جوی بین آنها وجود دارد (عساکر، ۴۷:۸۶). در سالهای اخیر برهمنشی بین عوامل آب و هوایی در خشکی، اقیانوس و جو مورد توجه بسیاری از دانشمندان علوم هواشناسی و اقلیمشناسی قرار گرفته است. نتایج پژوهش‌های زیادی نشان داده‌اند که تغییرات دما در سطح گسترده‌های بزرگ آبی میتواند تأثیر معنیداری بر نوسانهای بارش در سطح خشکیهای زمین داشته باشد. روشن شده است که تأثیر دمای سطح آب<sup>۱</sup> بر مقدار بارش، محدود به نقاط ساحلی نبوده بلکه نواحی بسیار دور از دریا نیز میتوانند تحت تأثیر تغییرات الگوهای دمای سطح گسترده‌ای آبی قرار گیرند (ناظم‌السادات و قاسمی، ۱۳۸:۱).

نوسانهای اقلیمی تأثیر عمدی‌های بر روی خاک، پوشش گیاهی، منابع آبی و کاربری زمین دارند. اخیراً پیشرفت‌هایی در زمینه فهم عوامل مؤثر بر نوسانهای فصلی اقلیم خشکیهای زمین شامل عوامل طبیعی خشکسالی صورت گرفته است. نوسان سالانه زیاد در بارش و دمای خشکیهای زمین با سیستم اقلیمی در مقیاس جهانی مرتبط میباشد (قاسمی، ۱۳۸:۱۰).

کشور ما به دلیل واقع شدن در همسایگی منابع رطوبتی قابل توجه دریایی مدیترانه و دریای سیاه در غرب، خلیج فارس و دریای عمان در جنوب، دریای خزر در شمال و اقیانوس هند تأثیرپذیری نسبتاً زیادی از SST مناطق رطوبتی یاد شده دارد. لذا بررسی و مطالعه این تأثیرات بر مقادیر بارش کشور نقش اساسی در شناخت نوسانهای بارش و پیش‌بینی مقادیر بارش دارد.

میلنا و همکاران<sup>۱</sup>، صص ۱۶-۱) بارشهای ناگهانی ساحل شرقی اسپانیا را با توجه به نقش دمای سطح آب دریای مدیترانه بررسی کرده‌اند که آن را در ارتباط با یک مکانیزم توسعه توده هوای ناپایدار به طور بالقوه روی دریای مدیترانه که فاکتورهای زیادی در آن دخیل هستند، میدانند. در این تحقیق دمای سطح آب دریای مدیترانه فرض می‌شود تا نقش مهمی بازی کند که بررسی سینوبیتیکی نتیجه نقش دمای سطح دریا را به عنوان منبع رطوبتی در سیکلونزایی مدیترانه‌ای تصدیق کرد.

اسپنس و همکاران<sup>۲</sup>، ص ۱۵۳۵) تأثیر نوسان دمای سطح آب اقیانوس‌های اطلس و آرام را روی بارش‌های حوضه کارائیب با استفاده از تکنیک<sup>۳</sup> SVD بررسی کرده و به این نتیجه رسیدند که ENSO<sup>۴</sup> بیشترین تأثیر را در طول فصول بارانی<sup>۵</sup> (ASO) و فصول خشکی<sup>۶</sup> (NDJ) دارد. در حالی که اقیانوس اطلس حارهای تغییرات در فصول بارندگی<sup>۷</sup> (May-July) را کنترل می‌کند.

سینگ<sup>۸</sup> و جایی<sup>۹</sup> هو<sup>۱۰</sup>، ص ۱۴۶۰) تأثیر نوسان‌های دمای سطح آب اقیانوس هند را روی بارش موسومی تابستانی هند با استفاده از نسخه جدید مدل اقلیم ناحیه‌ای<sup>۱۱</sup> (RegCM<sub>۳</sub>) بررسی کرده و به این نتیجه رسیده است که گرم شدن ناحیه‌ای دمای سطح آب اقیانوس هند بارش موسومی را به طور اساسی روی جنوب، غرب شبه جزیره هند و نیز بر فراز اقیانوس هند افزایش داده و آن را روی شمال شرقی اقیانوس هند کاهش میدهد. نگوین<sup>۹</sup> و همکاران<sup>۱۰</sup>، ص ۱۳۶۵) ارتباط بین دمای سطح آب اقیانوس هند و آرام حارهای با بارش ماهانه روی ارتفاعات مرکزی ویتنام را با استفاده از روش توابع متعدد

1- Millana, M

2- Jacqueline M. Spens

3- Singular Value Decomposition

4- Elino-South Oscillation

5- August-September- October

6- November-December- January

7- G.P. Singh & Jai-Ho Oh

8- Regional Climate Model

9- Tinh Dang Nguyen



تجربی مطالعه کرده و به این نتیجه رسیدهاند که تفاوت فصلی دمای سطح این آبها، نقش اساسی در آغاز فصل موسمی و جابجایی الگوهای بارش هموفتی منطقه همگرایی بین حارهای دارد. آنها دریافتند که میزان ارتباط بین بارش و دمای سطح آب در هر دو اقیانوس از نظر اهمیت در طول فصل بارش متفاوت است، به طوری که در ماه آوریل، بارشهای مناطق مرتفع ویتنام به طور قوی با پدیده انسو<sup>1</sup> مرتبط است در حالی که دمای سطح آب اقیانوس هند فقط با بارشهای مناطق مرتفع شمالی ویتنام ارتباط دارد. در ماه می هیچ ارتباط مهمی بین بارش و دمای سطح آب اقیانوسها وجود ندارد. در ماه ژوئن بارشهای مناطق مرتفع به طور منفی با دمای سطح آب اقیانوس هند شمالی و دمای سطح آب اقیانوس آرام جنوبی مرتبط میباشند. در ماههای ژوئیه تا سپتامبر هیچ ارتباط مهمی بین الگوهای بارش و دمای سطح آب اقیانوس هند وجود نداشته است. دمای سطح آب اقیانوس آرام در مناطق شرقی تا نواحی حارهای مرکز آن، به طور مثبت با بارش منطقه کوچکی از شمال تا جنوب نواحی مرتفع همبستگی دارد. در ماه اکتبر بارش روی مناطق مرتفع ویتنام به طور قوی با ENSO<sup>2</sup> و به طور مثبت با دمای سطح آب شرق اقیانوس هند استوایی ارتباط دارد. در ماه نوامبر دمای سطح آب شمال غرب اقیانوس آرام، همانند دمای سطح آب شرق اقیانوس هند استوایی، به طور مثبت و قوی با بارش مناطق مرتفع ویتنام همبستگی دارد. آنالیزهای تأخیر زمانی نشان داده است که یک ارتباط بالقوه بین دمای سطح آب اقیانوس آرام و الگوهای بارش ماهانه در طی فصل بارش از یک تا سه ماه پیش ایجاد و بین دمای سطح آب هند و بارش در ماههای اکتبر و نوامبر از یک تا دو ماه پیشتر وجود دارد.

راول<sup>3</sup>(2002)، ص 851) تأثیر دمای سطح آب دریای مدیترانه را روی بارشهای فصلی منطقه ساحل (شامل کشورهای واقع بر روی خط استوا در غرب آفریقا) با استفاده از دادههای مدل گردش عمومی جو (AGCM) بررسی کرده و به این نتیجه رسیده است در سالهایی که دمای سطح آب دریای مدیترانه گرمتر از میانگین باشد منطقه ساحل نسبت به

1- ENSO

2- David P. Rowell.

3- Atmospheric General Circulation Model.

شرایط دمای نرمال سطح آب این دریا مرتبط‌تر می‌باشد و در سالهایی که دمای سطح آب دریای مدیترانه نسبت به شرایط نرمال آن سردتر باشد، منطقه ساحل دارای شرایط خشکتر می‌باشد.

ویلیامز و همکاران<sup>۱</sup> (۲۰۰۷، ص ۹۳) ارتباط فرایندهای جوی - اقیانوسی با مقادیر بارشهای حداکثر روزانه را روی افریقای جنوبی بررسی کردند. آنها در این مطالعه با استفاده از مجموعه داده‌های ماهواره‌ای بارش روزانه، اهداف زیر را دنبال کردند:

- ۱- بررسی الگوهای اصلی تغییرات بارش روی افریقای جنوبی.
- ۲- شناسایی زمان‌هایی که در این الگوها حداکثر بارش اتفاق می‌افتد.
- ۳- شناسایی موقعیت و تواتر نوسانهای دمای سطح آب مرتبط با مقادیر بارشهای حداکثر در اقیانوس اطلس و جنوب غربی اقیانوس هند. در این مطالعه از روش PCA<sup>۲</sup> (تحلیل مؤلفه‌های اصلی) استفاده شده است.

یوان و همکاران<sup>۳</sup> (۲۰۰۸، ص ۱۵۸۰) اثرات دمای سطح آب اقیانوس هند را روی آغاز بارشهای موسمی تابستانی دریای چین جنوبی بررسی کرده و به این نتیجه رسیده‌اند که واچرخند قوی فیلیپین در ماههای می و زوئن به طرف غرب پیشروی کرده و از گسترش جریانات غربی هند به دریای چین جنوبی جلوگیری می‌کند و این باعث تأخیر در شروع فصل موسمی تابستانی می‌شود. این در حالیست که، زمانی که اقیانوس هند حارهای سرد می‌شود، شرایط بر عکس شده و باعث عقبتی‌سینی واچرخند فیلیپین گردیده و در نتیجه باعث شروع زود هنگام موسمی تابستانی می‌شود.

1- C. J. R. Williams.

2- Principal Component Analyze.

3- Yuan Yuan.



خوشرفتار ۱۳۷۷، ص ۱۲۵) تأثیر پدیده انسو را بر بارش ایران مورد بررسی قرار داده و به این نتیجه رسیده است که افزایش در بارش ایران با شاخص پایین (النینو<sup>۱</sup>) و کاهش آن با شاخص بالا (لانینا<sup>۲</sup>) همراه میباشد.

غیور و عساکر ۱۳۸۱، ص ۹۴) اثر پیوند از دور بر اقلیم ایران را با مطالعه موردی نوسانات اطلس شمالی و نوسانات جنوبی<sup>۳</sup> بر تغییرات میانگین ماهانه دمای جاسک را بررسی کرده و به این نتیجه رسیده‌اند که زمانی طولانی، دمای جاسک تحت تأثیر کاهش مقادیر نوسانات شمالی و جنوبی افزایش یافته است.

ناظمالسادات و همکاران ۱۳۸۵، ص ۶۵) پیش‌بینی بارش مناطق جنوبی ایران را با استفاده از دمای سطح آب خلیج فارس و مدل تحلیل همبستگی متعارف بررسی و مطالعه کرده و به این نتیجه رسیده‌اند که نوسانهای SST در ناحیه مرکزی خلیج فارس در مقابل سواحل بوشهر نقش مؤثری در توجیه نوسانات بارش ایستگاه‌های مورد مطالعه دارد. چهار مؤلفه اصلی SST که از طریق تحلیل مؤلفه‌های اصلی حاصل شدند، در مجموع حدود ۲۷ درصد از کل واریانس بارش زمستانه مناطق مورد مطالعه را تبیین مینمایند. در استانهای فارس و بوشهر تأثیر SST زمستانه بر بارش، بیش از استان خوزستان تشخیص داده شده است. فرایند تغییرات SST در فصول بهار و تابستان یکی از عناصر قابل توجه در پیش‌بینی بارش زمستانه خوزستان تشخیص داده شده است.

خورشیددوست و قویدل ۱۳۸۵، ص ۳۵) تأثیر انسو بر تغییرپذیری بارشهای فصلی استان آذربایجان شرقی را با استفاده از شاخص چندمتغیره انسو بررسی کرده و به این نتیجه رسیده‌اند که بارش پاییزه منطقه مورد مطالعه به هنگام النینو افزایش و بر عکس به هنگام لانینا کاهش میباشد.

کریمی خواجه لنگی ۱۳۸۵، ص ۴۳) ارتباط انسو با نوسانهای الگوی بارش ماهانه در ایران را با مطالعه موردی شهر کرد مورد بررسی قرار داده و به نتایج مشابهی در ارتباط با

1- Elnino

2- Lanina

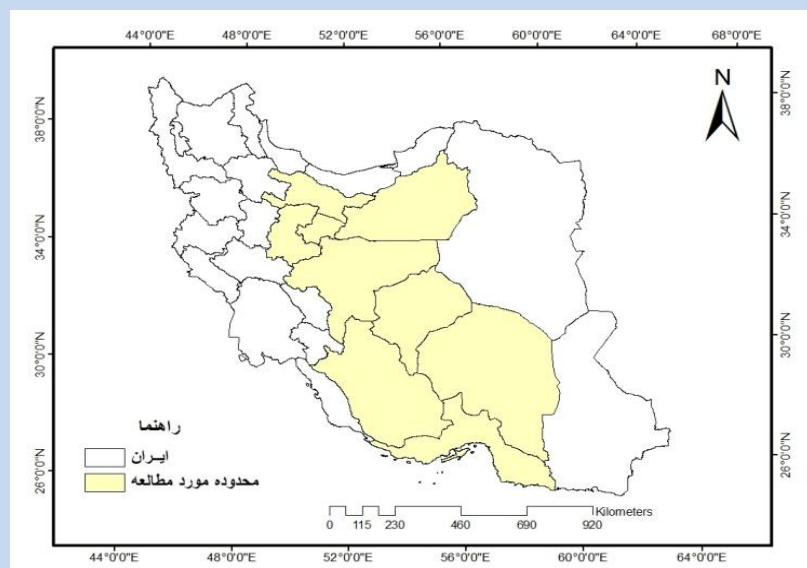
3- North Atlantic Oscillations and ENSO

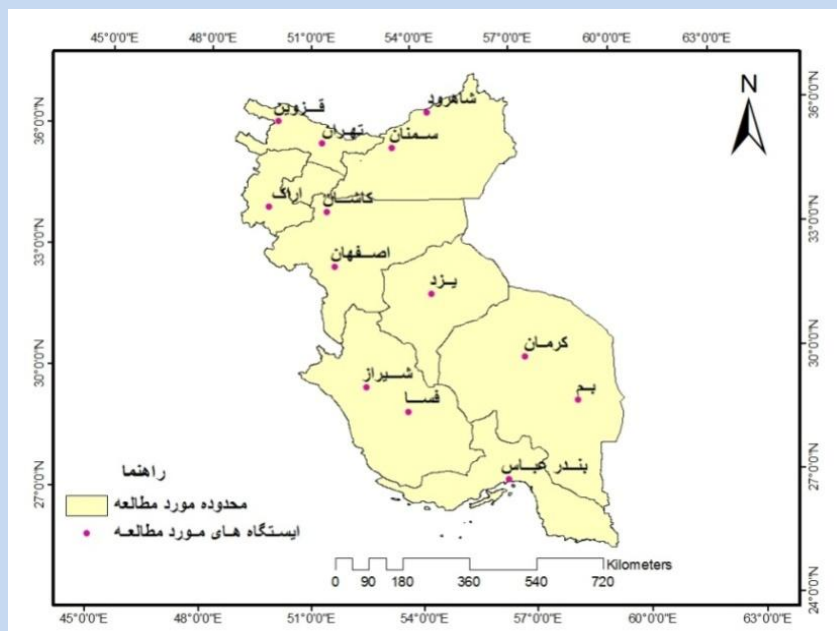
پژوهش‌های متعدد در این زمینه در ایران در رابطه با همبستگی معنیدار بین انسو و نوسان های بارشی منطقه رسیده است.

بادهای غربی در دوره سرد سال سه ناوه بلند به ترتیب بر روی ایالات متحده آمریکا، شرق آسیا و دریای مدیترانه تشکیل میدهند. ناوه مدیترانه در طول فصل زمستان در محدوده دریای مدیترانه جا به جا شده و سبب می‌شود که بادهای غربی و سامانه‌های هوایی همراه تمام یا قسمتی از ایران را فرا گیرند (علیجانی، 1383:30). بنابراین در این مطالعه، تأثیر نوسانهای SST دریای مدیترانه بر روی بارش‌های دوره سرد سال منطقه مورد مطالعه، بررسی شده است.

#### موقعیت منطقه مورد مطالعه

منطقه مورد مطالعه در  $37^{\circ}30'$ - $38^{\circ}28'$  عرض شمالی و  $49^{\circ}60'$ - $56^{\circ}30'$  طول شرقی واقع شده است که شامل استگاههای اراک، اصفهان، بم، بندربابس، تهران، سمنان، شیراز، شاهرود، کرمان، کاشان، فسا، یزد می‌باشد (شکل 1).





شکل (۱) نقشه موقعیت منطقه مورد مطالعه

## مواد و روشها

در این تحقیق از دو سری داده استفاده شده است: داده‌های میانگین فصلی بارش ایستگاه‌های مورد مطالعه و میانگین فصلی دمای سطح آب دریای مدیترانه. داده‌های بارش ۱۳ ایستگاه سینوپتیک از سازمان هواشناسی تهیه گردید، مبنای انتخاب این ایستگاه‌ها از میان ایستگاه‌های سینوپتیک، داشتن آمار طولانی و بلندمدت آنها نسبت به سایر ایستگاه‌ها بوده است. به علت عدم دسترسی به آمار بارش ناحیه مورد مطالعه تا سال جدید دوره آماری مورد مطالعه از سال ۱۹۷۰ تا ۲۰۰۵ به مدت ۳۶ سال انتخاب شد که در جدول ۱ میانگین بارش فصلی و مجموع میانگین بارش سالانه ایستگاه‌های مورد مطالعه آورده شده است.

**جدول (۱) میانگین فصلی و مجموع بارش سالانه ایستگاههای مورد مطالعه در دوره ۲۰۰۵-۹۷**

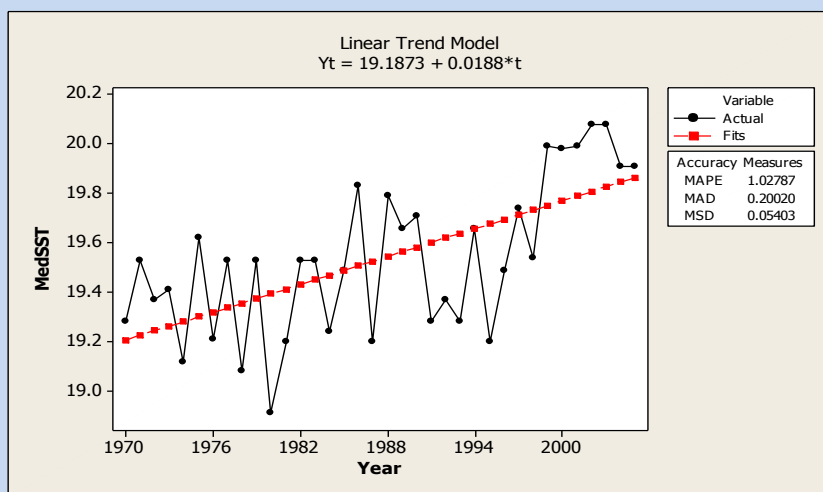
ایستگاهها	زمستان	درصد از بارش سالانه	بهار	درصد از بارش سالانه	تابستان	درصد از بارش سالانه	پاییز	درصد از بارش سالانه	مجموع میانگین بارش سالانه
اراک	479	44	2622	243	1/03	09	3367	309	10779
اصفهان	2026	481	902	214	034	08	1252	297	4214
بم	1136	568	54	27	06	3	263	132	1999
بندر عباس	452	706	39	61	1/35	21	1361	212	6406
تهران	3831	472	1593	196	1/68	21	2526	311	8118
سمنان	2332	476	1123	229	2/67	55	1175	24	4897
شهرود	2344	422	1759	317	2/28	41	1225	22	5556
شیراز	6798	602	931	83	059	05	3596	31	11284
فسا	6619	652	556	55	1/06	1	2865	282	10146
قزوین	4583	424	2715	251	1/52	1/4	3351	31	10801
کاشان	2373	514	1056	229	034	07	1152	25	4615
کرمان	2972	614	847	175	054	1/1	964	199	4837
یزد	122	596	331	162	003	02	493	241	2047

برای انجام این مطالعه علاوه بر داده های بارش ایستگاهها، داده های میانگین فصلی دمای سطح آب دریای مدیترانه (SST) نیز مورد نیاز است. داده های SST ماهانه مربوط به تمام پهنه های آبی کره زمین در سایت اینترنتی سازمان فضایی آمریکا (NASA) و سازمان هواشناسی و اقیانوس شناسی آمریکا (NOAA) (منابع شماره ۱۷، ۱۸، ۱۹) موجود بوده و قابل دانلود میباشد سپس با استفاده از نرم افزار تخصصی هواشناسی گردس<sup>۱</sup>، داده های فصلی دمای سطح آب مدیترانه نیز برای مدت ۳۶ سال در تطابق با داده های بارش استخراج گردید.

داده های ماهانه SST دریای مدیترانه از طریق میانگین گیری دمای کل سطح آب دریای مدیترانه به دست آمده است. روند SST دریای مدیترانه در مقیاس فصلی و سالانه



با استفاده از نرمافزار Minitab ترسیم شد که بیانگر روند افزایشی SST فصلی و سالانه در طول دوره ۲۰۰۵-۱۹۷۰ میباشد در شکل ۲ فقط روند سالانه دمای سطح آب دریای مدیترانه نشان داده شده است. قسمت شرق دریای مدیترانه در تمامی فصول سال گرمتر از قسمت غرب و مرکز آن است (جدول ۲).



شکل ۲) روند سالانه دمای سطح آب دریای مدیترانه در طی دوره ۲۰۰۵-۱۹۷۰ (۲)

جدول ۲) میانگین فصلی و سالانه SST دریای مدیترانه در قسمتهای مختلف آن در دوره ۲۰۰۵-۱۹۷۰ (۲)

فصل	شرق	مرکز	غرب	میانگین کل سطح دریا
زمستان	۱۶۸	۱۵۴	۱۳۸	۱۵۳۳
بهار	۲۰۳	۱۸۹	۱۷۳	۱۹۸۳
تابستان	۲۶۳	۲۴۵	۲۲۵	۲۴۴۳
پاییز	۲۱۵	۱۹۵	۱۸۶	۱۹۸۶
سالانه	۲۱۲	۱۹۶	۱۸۱	۱۹۶۳

در این پژوهش سه فاز گرم، سرد و خنثی، معادل دوره‌های گرم دمای سطح آب دریای مدیترانه (Cold SST)، سرد (Warm SST) و پایه آن (Base SST) محاسبه شد. برای این کار دمای میانگین فصلی سطح آب دریای مدیترانه در فصول مطالعه برای دوره

آماری 970 (2005) از بزرگ به کوچک منظم گردید و سپس داده‌های SST واقع در محدوده 25 درصد بالایی سری دمای فصلی به عنوان دوره گرم (Warm SST)، داده‌های SST واقع در 25 درصد پایین به عنوان دوره سرد (Cold SST) و 50 درصد داده‌های SST واقع در میانه سری دمای فصلی به عنوان دوره پایه (Base SST) در نظر گرفته شد. برای هر فصل و هر ایستگاه مورد مطالعه میانه آماری بارش با عنوانین (Rw, Rc, Rb) به ترتیب برای دوره‌های گرم، سرد و پایه دمای سطح آب مدیترانه محاسبه شده و نسبت به هم برای بررسی میزان تأثیرپذیری بارش از Med SST مورد مقایسه قرار گرفت. مقادیر نسبتهای Rw/Rc, Rc/Rw, Rb/Rc, Rb/Rw نسبت به هم مقایسه شد. اگر برای میانه بارش زمستانه ایستگاهی (Rw/Rc) نتیجه بیشتر (کمتر) از واحد گردد به معنی این است که افزایش (کاهش) بیش از معمول دمای سطح دریا در فصل زمستان باعث افزایش بارش (کاهش) آن ایستگاه در فصل زمستان شده است.

یکی از مهمترین موارد مطالعات اقلیمی شناخت روابط موجود بین متغیرهای مورد مطالعه است. تبیین روابطی که در بین این نوع متغیرها وجود دارد باعث خواهد شد بتوان پیشینیهای لازم را به منظور برنامه‌ریزی انجام داد. در این پژوهش میزان همبستگی بین دمای سطح آب دریای مدیترانه و بارش در فصول زمستان و پاییز، میزان همبستگی بین دمای سطح آب دریای مدیترانه در فصل تابستان و بارش پاییزه ایستگاههای مورد مطالعه و دمای سطح آب دریای مدیترانه در فصل پاییز و بارش زمستانه ایستگاههای مورد مطالعه در نرمافزار SPSS انجام گرفته شده است. میزان تأثیرپذیری ایستگاههای مورد مطالعه در ایران از نوسانات SST در فصول مختلف به صورت نقشه در نرمافزار Arc GIS با استفاده از روش IDW نشان داده شد.

#### یافته‌ها

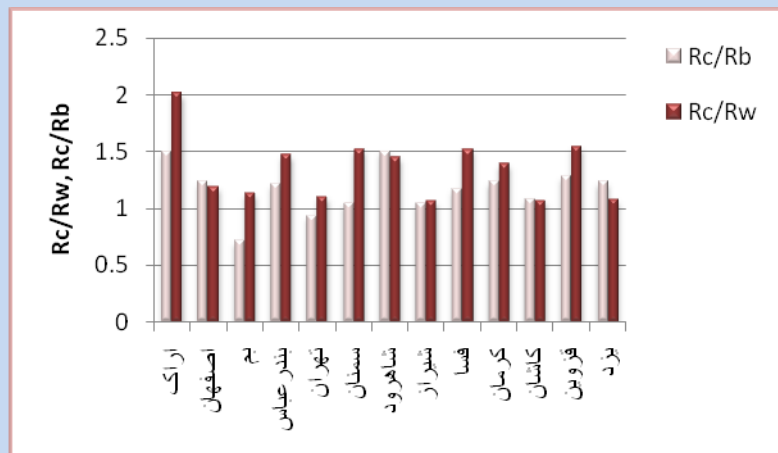
1- Rain Median of Warm period, Rain Median of Cold period and Rain Median of Base period of Mediterranean SST.



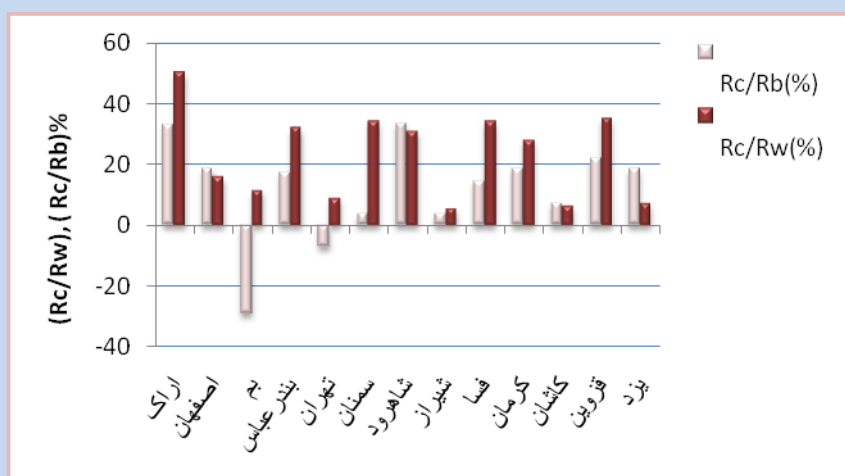
هدف اصلی این قسمت، تعیین رابطه بین رفتار فصلی بارش ایستگاههای مورد مطالعه و نوسانات SST دریایی مدیترانه میباشد.

#### تأثیر SST زمستانه و پاییزه دریایی مدیترانه بر بارش فصول

در نمودار ۱ نسبت مقادیر  $Rc / Rw$  زمستانه (میانه بارش زمستانه ایستگاههای مورد مطالعه در شرایط سردتر SST دریایی مدیترانه نسبت به شرایط گرمتر آن در فصل زمستان) برای ایستگاه های مورد بررسی نشان داده است. همانطور که ملاحظه میشود این نسبت در تمامی ایستگاهها مساوی یا بیشتر از واحد را نشان میدهد. بدین ترتیب وقوع دمای سردتر سطح آب دریایی مدیترانه در فصل زمستان نسبت به دمای گرمتر آن موجب افزایش بارش زمستانه در تمام ایستگاههای مورد مطالعه شده است. بیشترین افزایش در ایستگاههای اراک، قزوین، فسا، سمنان به ترتیب  $5024\%$ ،  $356\%$ ،  $3421\%$  و  $342\%$  مشاهده میشوند که در نمودار ۲ نشان داده شده است. همچنین در نمودار ۱ نسبت  $Rc/Rb$  (میانه بارش زمستانه ایستگاههای مورد مطالعه در شرایط سردتر SST دریایی مدیترانه نسبت به شرایط معمول آن در فصل زمستان) نشان داده شده است که این نسبت به جز در ایستگاههای تهران و بم در بقیه ایستگاههای مورد مطالعه مساوی یا بیشتر از واحد میباشد. بدین معنی که وقوع دمای سردتر سطح آب دریایی مدیترانه در فصل زمستان نسبت به دمای نرمال آن نیز موجب افزایش بارش زمستانه در تمام ایستگاههای مورد مطالعه به جز ایستگاه تهران و بم شده است. بیشترین افزایش در ایستگاه شاهروド و اراک به ترتیب  $3333\%$  و  $3488\%$  میباشد (نمودار ۲). لازم به ذکر است که در توضیحات فوق نسبتهای  $Rc/Rb$  و  $Rc/Rw$  آورده شده است که علت آن افزایش بارش منطقه در این نسبتها در فصل زمستان میباشد و در نسبتهای دیگر نظیر  $Rw/Rc$  و  $Rw/Rb$  بارش منطقه با کاهش همراه بود.



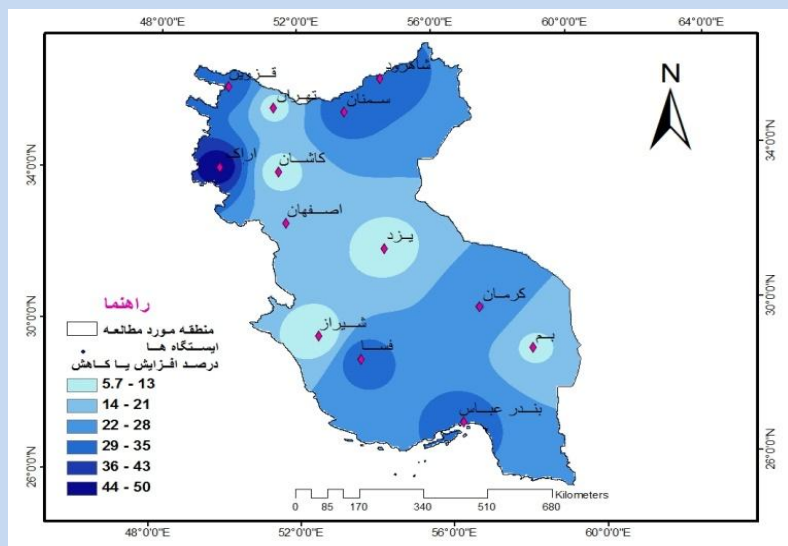
نمودار ۷) نسبت میانه بارش زمستانه در شرایط سردتر دمای سطح آب دریای مدیترانه به شرایط گرمتر و نرمال آن در فصل زمستان



نمودار ۸) میزان افزایش و کاهش (%) بارش زمستانه در شرایط سردتر دمای سطح آب دریای مدیترانه نسبت به شرایط گرم تر و نرمال آن در فصل زمستان



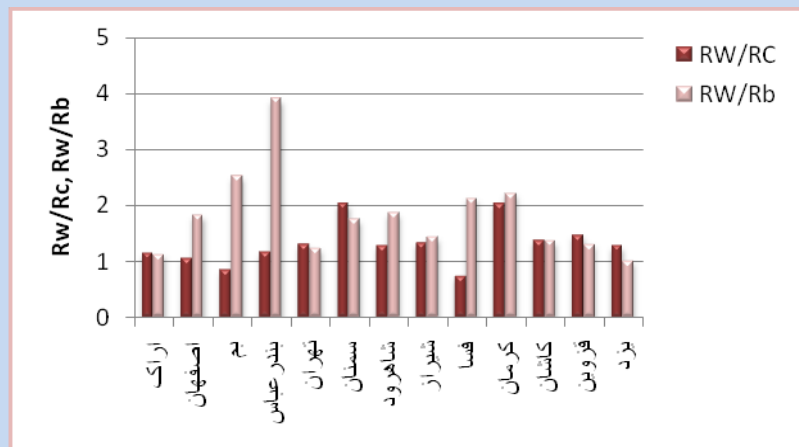
در شکل ۲ نقشه میزان تأثیرات دوره سردتر SST دریایی مدیترانه نسبت به دوره گرمتر آن در فصل زمستان ( $Rc/Rw$ ) در مقایسه با دوره سردتر SST دریایی مدیترانه نسبت به دوره معمول آن ( $Rc/Rb$ ) بر بارش فصل زمستان منطقه مورد مطالعه به دلیل تأثیرگذاری بیشتر آن آورده شده است.



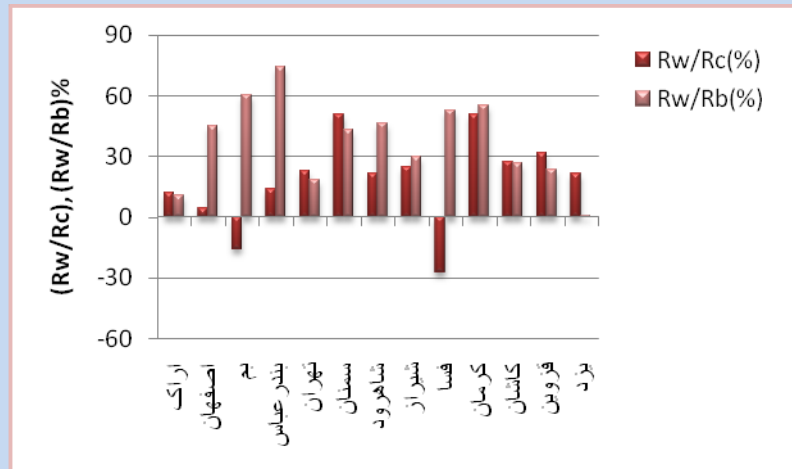
شکل ۲) نقشه میزان افزایش و کاهش (%) بارش زمستانه منطقه در شرایط سردتر دمای سطح آب دریایی مدیترانه نسبت به شرایط گرم تر آن در فصل زمستان

نمودارهای ۳ و ۴ نسبت شرایط گرم تر دمای سطح آب دریایی مدیترانه را در فصل پاییز به شرایط پاییز و سردتر آن و میزان افزایش یا کاهش بارش در همان شرایط را در ایستگاههای مورد مطالعه، نشان داده است. همانطوری که ملاحظه میشود دمای گرمتر از معمول دریایی مدیترانه در فصل پاییز با افزایش بارش پاییزه منطقه مورد مطالعه همراه است. بیشترین میزان افزایش در ایستگاههای بندر عباس، بم، کرمان و فسا به ترتیب ۶۰۳۱، ۷۴۳۵، ۵۴۹۵ و ۵۲۸ مشاهده میشود. شرایط گرمتر دمای سطح آب دریایی مدیترانه نسبت به شرایط سردتر آن در فصل پاییز در تمام ایستگاهها به جز ایستگاه بم و فسا باعث افزایش بارش گردیده است که بیشترین میزان افزایش در ایستگاههای کرمان و سمنان به ترتیب

5072 و 5083 درصد مشاهده میشود. نسبتهای  $Rc/Rb$  و  $Rc/Rc$  با کاهش بارش پاییزه منطقه همراه بود.

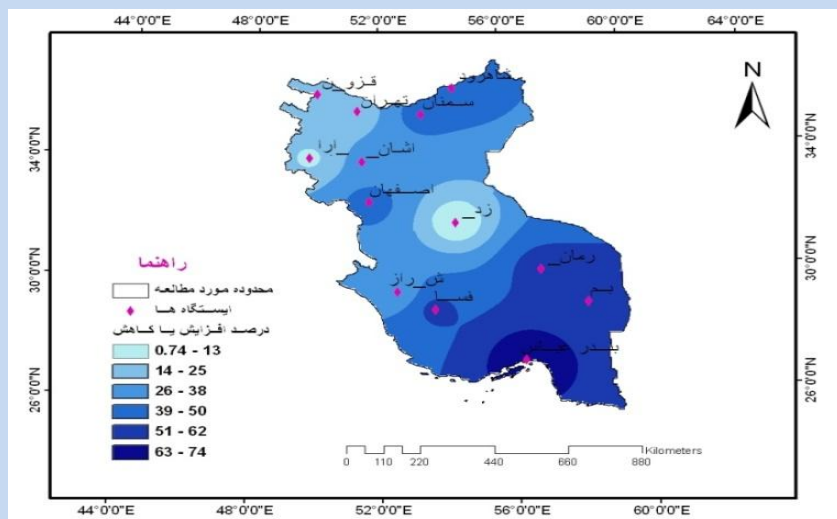


نمودار ۹) نسبت میانه بارش در شرایط گرمتر SST مدیترانه به شرایط سردتر و نرمال آن در فصل پاییز



نمودار ۱۰) میزان افزایش و کاهش (%) بارش در شرایط گرمتر SST مدیترانه به شرایط سردتر و نرمال آن در پاییز

در شکل ۳ نقشه میزان تأثیرات دوره معمول SST دریای مدیترانه نسبت به دوره سردتر آن در فصل پاییز ( $Rb/Rc$ ) در مقایسه با دوره گرماتر SST دریای مدیترانه نسبت به دوره سردتر آن ( $Rw/Rc$ ) بر بارش فصل پاییز منطقه به دلیل تأثیرگذاری بیشتر آن آورده شده است.

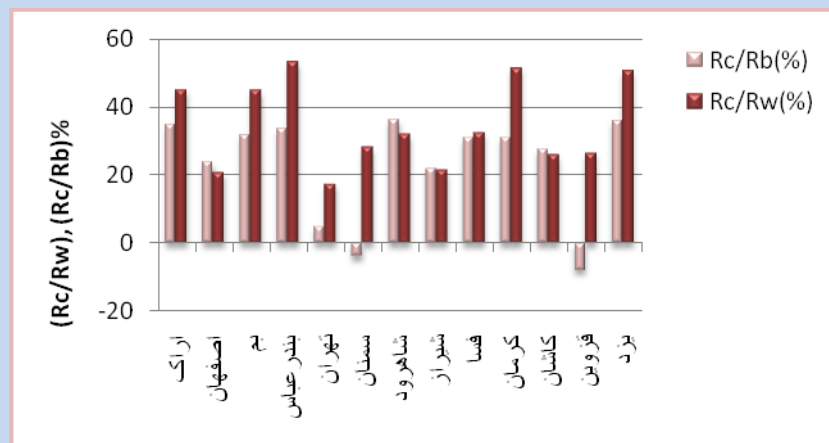


شکل ۶) نقشه میزان افزایش و کاهش (%) بارش پاییزه در شرایط معمول دمای سطح آب دریای مدیترانه نسبت به شرایط سردتر آن در فصل پاییز

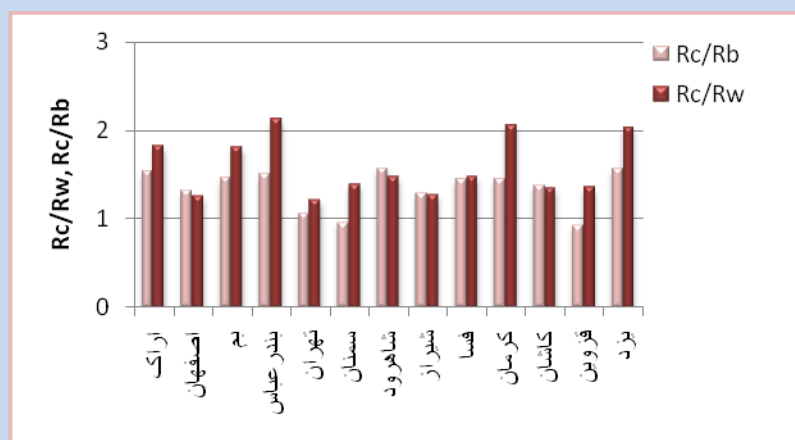
پیشینی بارش فصلی نقش موثری در برنامه‌بریزی و مدیریت منابع آب دارد. در این بخش این موضوع بررسی می‌شود که آیا دوره‌های گرمتر و سردتر دمای تابستان و پاییزه سطح آب دریای مدیترانه تأثیری بر بارش‌های فصول بعدی خود (به ترتیب پاییز و زمستان) در منطقه مورد مطالعه دارند یا خیر.

در نمودارهای ۵ و ۶ نسبت میانه بارش زمستانه ایستگاههای مورد مطالعه در شرایط سردتر SST دریای مدیترانه نسبت به شرایط گرمتر و معمول آن در فصل پاییز نشان داده شده است. همانطوری که مشاهده می‌کنید در تمامی ایستگاههای مورد مطالعه نسبت  $Rc/Rw$  بیشتر از واحد می‌باشد بدین معنی که دوره‌های سردتر SST دریای مدیترانه نسبت

به دورهای گرمر آن در فصل پاییز باعث افزایش بارش زمستانه در تمامی ایستگاههای مورد مطالعه شده است که بیشترین افزایش در ایستگاههای یزد، کرمان و بندرعباس حدود ۵۰ درصد و کمترین افزایش مربوط به ایستگاه تهران حدود ۱۸ درصد مشاهده میشود. همچنین نسبت  $Rc/Rb$  در تمامی ایستگاههای مورد مطالعه بهجز سمنان و قزوین بیشتر یا مساوی واحد میباشد که نشانگر افزایش بارش زمستانه ایستگاههای مورد مطالعه در شرایط سرددتر SST دریای مدیترانه به شرایط معمول آن در فصل پاییز میباشد. بیشترین میزان افزایش در ایستگاههای یزد و اراک حدود ۳۵٪ میباشد و ایستگاههای سمنان و قزوین در این شرایط با کاهش بارش به میزان کم به ترتیب ۴ و ۸ درصد همراه بوده است. نسبتهای  $Rw/Rb$  و  $Rw/Rc$  پاییزه با کاهش بارش زمستانه منطقه مورد مطالعه همراه بودند به همین علت در اینجا آورده نشده است.

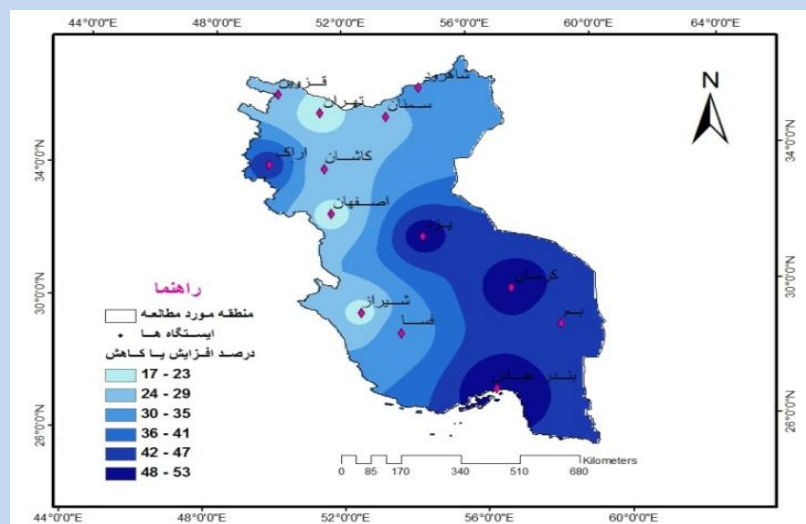


نمودار (۷) نسبت میانه بارش زمستانه منطقه مورد مطالعه در شرایط سرددتر دمای پاییزه سطح آب دریای مدیترانه به میانه بارش آن در شرایط گرمتر



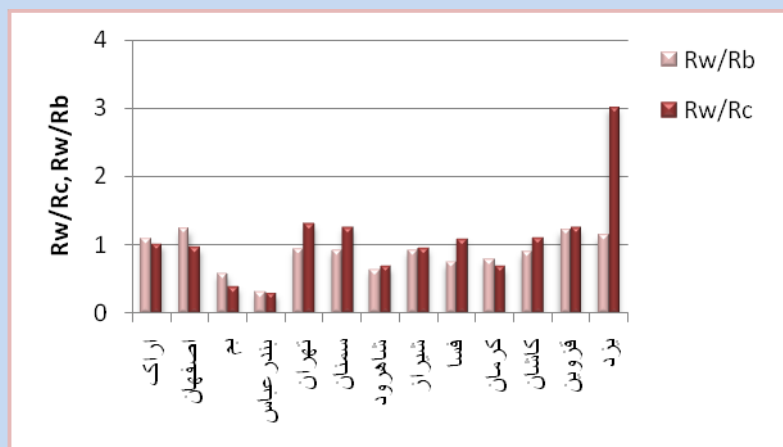
نمودار ۶) میزان افزایش و کاهش (%) بارش زمستانه منطقه مورد مطالعه در شرایط سردتر SST دریایی مدیترانه به شرایط گرمتر و معمول آن در فصل پاییز

در شکل ۴ نقشه میزان تأثیرات دوره سردتر SST دریایی مدیترانه نسبت به دوره گرمتر آن در فصل پاییز ( $Rc/Rw$ ) در مقایسه با دوره سردتر SST دریایی مدیترانه نسبت به دوره معمول آن ( $Rc/Rb$ ) بر بارش فصل زمستان منطقه مورد مطالعه به دلیل تأثیر بیشتر آن آورده شده است.

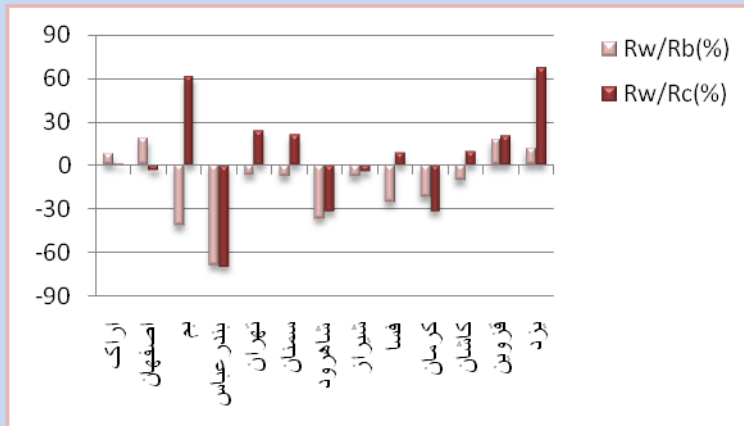


شکل ۴) نقشه میزان افزایش و کاهش (%) بارش زمستانه منطقه مورد مطالعه در شرایط سرد SST دریای مدیترانه به شرایط گرمتر در پاییز

در نمودارهای 7 و 8 نسبت میانه بارش پاییزه ایستگاههای مورد مطالعه در شرایط گرمتر SST دریای مدیترانه نسبت به شرایط سرددتر و معمول آن در فصل تابستان نشان داده شده است. همانطوری که مشاهده میکنید نسبت  $Rw/Rc$  پاییزه در ایستگاههای یزد، تهران، اصفهان، قزوین، کاشان، فسا و اراک باعث افزایش بارش گردیده که بیشترین میزان افزایش در ایستگاه یزد ۶۶۷۳ درصد میباشد. همین شرایط در ایستگاههای کرمان، شیراز، شاهروд، بندر عباس، بهم و اصفهان باعث کاهش بارش شده است که این کاهش در دو ایستگاه شیراز و اصفهان بسیار ناچیز و حدود ۲ درصد میباشد و در ایستگاه بندر عباس میزان این کاهش چشمگیر و حدود ۶۵ درصد میباشد. نسبت  $Rw/Rb$  پاییزه بهجز در ۴ ایستگاه یزد، قزوین، اصفهان و اراک در بقیه ایستگاهها با کاهش بارش همراه بوده است.



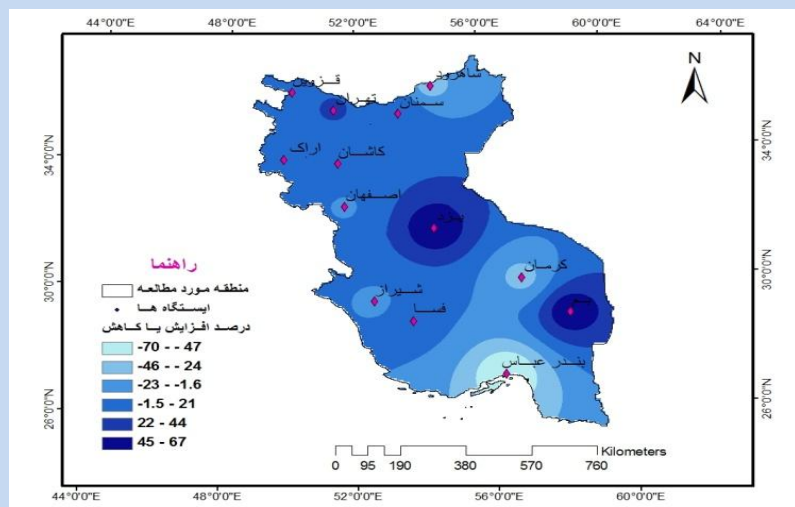
نمودار (۷) نسبت میانه بارش پاییزه منطقه مورد مطالعه در شرایط گرمتر دمای تابستانه سطح آب دریای مدیترانه به میانه بارش آن در شرایط سردتر و معمول آن



نمودار (۸) میزان افزایش و کاهش (%) بارش پاییزه منطقه مورد مطالعه در شرایط گرمتر SST دریای مدیترانه به شرایط سردتر و معمول آن در فصل تابستان

در شکل ۵ نقشه میزان تأثیرات دوره گرمتر SST دریای مدیترانه نسبت به دوره سردتر آن در فصل تابستان ( $Rw/Rc$ ) در مقایسه با دوره گرمتر SST دریای مدیترانه نسبت به دوره

معمول آن ( $Rw/Rb$ ) بر بارش فصل پاییز منطقه مورد مطالعه به دلیل تأثیر بیشتر آن آورده شده است.



شکل ۱۵) نقشه میزان افزایش و کاهش (%) بارش پاییزه منطقه مورد مطالعه در شرایط گرمتر شرایط دریای مدیترانه به شرایط سردتر آن در تابستان

#### همبستگی بین نوسانات SST و بارش

مطابق جدول ۳ بین نوسانهای SST زمستانه دریای مدیترانه و بارش زمستانه ایستگاههای مورد مطالعه همبستگی منفی مشاهده شد که فقط در سه ایستگاه سمنان، کرمان و قزوین همبستگی در سطح ۰/۹۵٪ معنیدار بود.

بین نوسانهای SST پاییزه دریای مدیترانه و بارش پاییزه ایستگاههای مورد مطالعه همبستگی مثبت مشاهده شد که در ایستگاههای تهران، شیراز، کاشان، قزوین و یزد در سطح اطمینان ۰/۹۵٪ و در ایستگاه سمنان در سطح اطمینان ۰/۹۹٪ میباشد.

بین نوسانهای SST پاییزه دریای مدیترانه و بارش زمستانه ایستگاههای مورد مطالعه



همبستگی منفی مشاهده شد که در ایستگاههای بم، بندرعباس، سمنان، شاهروند، کاشان و یزد در سطح اطمینان ۰/۹۵٪ و در ایستگاه اراک و کرمان در سطح اطمینان ۰/۹۹٪ میباشد.

نوسانات SST مدیترانه در فصل تابستان و بارش در فصل پاییز در هیچ یک از ایستگاههای مورد مطالعه، دارای همبستگی معنیدار نمیباشد. اما تمایل نسبتاً مشخصی بین افزایش بارش پائیزه با دمای گرماتر سطح آب دریای مدیترانه در فصل تابستان ملاحظه میشود.

جدول ۹) میزان همبستگی بین بارش فصلی منطقه و SST دریای مدیترانه

SST بارش پاییز و تابستان	بارش زمستان و SST پاییز	SST بارش تابستان	SST بارش و زمستان	نام ایستگاه
۰/۱	*-۰/۳۸	*۰/۳۴	*-۰/۳۹	اراک
-۰/۱	-۰/۱۵	۰/۱۹	-۰/۰۰۷	اصفهان
۰/۰۷	*-۰/۳	۰/۲۹	-۰/۰۲	بم
-۰/۰۴	*-۰/۲۶	۰/۰۲	-۰/۱۷	بندرعباس
۰/۱۵	-۰/۲۵	*۰/۳۵	-۰/۱۵	تهران
۰/۱۱	*-۰/۳	**۰/۳۹	*-۰/۲۶	سمنان
-۰/۰۶	*۰/۳۴	۰/۱۷	-۰/۱۷	شاهروند
۰/۱۸	-۰/۲۶	*۰/۲۶	-۰/۰۶	شیراز
۰/۱	*-۰/۳	۰/۱۲	-۰/۲	فسا
-۰/۰۱	**-۰/۳۶	۰/۱۵	*-۰/۳۱	کرمان
۰/۰۷	*-۰/۲۷	*۰/۳۳	-۰/۰۷	کاشان
۰/۰۲	-۰/۱۲	*۰/۳۳	-۰/۰۲۳	قزوین
۰/۱۸	*-۰/۲۷	*۰/۲۷	-۰/۰۴	یزد

\* در سطح اطمینان ۹۵٪

\*\* در سطح اطمینان ۹۹٪

#### نتیجه‌گیری

اقلیم و پارامترهای آن به ویژه بارش و تغییرات احتمالی آن در طول دوره زمانی نقش

بسزایی در محیط زندگی انسان دارد که شناخت آنها از طریق به کمی در آوردن و استفاده از مدل‌های آماری و همچنین استفاده از برنامه‌ریزی‌های مناسب با آن، امکان بهره‌وری بهینه از طبیعت و امکانات بالقوه آن را فراهم می‌سازد. در این پژوهش میزان تأثیرات فعلی دمای سطح آب دریای مدیترانه بر بارش‌های پایکوههای شرقی زاگرس و چالههای مرکزی ایران بررسی شده است. نتایج نشان داد زمانی که در فصل زمستان MedSST سردوتر از معمول باشد، بارش زمستانه منطقه مورد مطالعه افزایش می‌یابد ولی دمای گرمتر از معمول آن در فصل پاییز باعث افزایش بارش پاییزه منطقه می‌شود. همچنین دمای سردوتر از معمول پاییزه MEDSST، باعث افزایش بارش زمستانه و دمای گرمتر از معمول آن در تابستان باعث افزایش بارش پاییزه منطقه مورد مطالعه شده است. نتایج حاصل از همبستگی نشان داد که بین نوسانات SST و بارش در فصل زمستان همبستگی منفی، بین نوسانات SST و بارش در فصل پاییز همبستگی مثبت و بین نوسانات MedSST در فصل پاییز و بارش زمستانه ایستگاههای مورد مطالعه همبستگی منفی وجود دارد که در تعدادی ایستگاهها به صورت معنیدار می‌باشد. بین نوسانات MedSST در فصل تابستان و بارش پاییزه ایستگاههای مورد مطالعه همبستگی مشاهده نشد. اما تمایل نسبتاً مشخصی بین افزایش بارش پاییزه با دمای گرم مدیترانه ملاحظه می‌شود. در این خصوص میتوان گفت که بواسطه حاکمیت پرفشار جنب حارهای در فصل تابستان تا اوایل پاییز بر روی دریای مدیترانه و نیز خاورمیانه، اثرات این دریا بر روی بارش ایران تابع جابه جایی مداری و نصفالنهاری پرفشار جنب حارهای است.

در این مقاله صرفاً میزان تأثیرات فعلی دمای سطح آب دریای مدیترانه بر بارش فعلی منطقه مورد مطالعه (رفتارشناسی) بررسی شده است لذا علت تأثیرپذیری متفاوت ایستگاههای مورد مطالعه از SST دریای مدیترانه باید در مطالعات بعدی از دیدگاه سینوپتیکی بررسی شود تا بتوان استدلال علمی قابل قبولی برای یافته‌های مذکور داشت البته باید به نقش عوامل داخلی هم در بررسی علل تأثیرپذیری متفاوت ایستگاههای مورد مطالعه توجه داشت و همچنین درصد شرکت پدیده‌های دیگر اقیانوسی - جوی در فصول زمستان و پاییز در نوسانات بارشی منطقه، نیز میتواند در جهت کاملتر شدن این مقاله مطالعه شود.



## منابع

- 1- علیجانی، بهلول (۱۳۸۳)، «آب و هوای ایران»، انتشارات دانشگاه پیام نور، ص ۳۰.
- 2- عساکر، حسین (۱۳۸۶). «تغییر اقلیم»، چاپ اول، انتشارات دانشگاه زنجان، ص ۴۷.
- 3- غیور، حسنعلی و عساکر، حسین (۱۳۸۱)، «مطالعه اثر پیوند ار دور بر اقلیم ایران مطالعه موردی اثر نوسانات اطلس شمالی و نوسانات جنوبی بر تغییرات میانگین ماهانه دمای جاسک»، فصلنامه تحقیقات جغرافیایی شماره ۱، صص ۱۴۹۳.
- 4- قاسمی دستگردی، احمد رضا (۱۳۸۴)، «مطالعه خشکسالی هواشناسی در ایران و تأثیرپذیری آن از پدیده الینو- نوسانات جنوبی و دمای سطح دریای خزر»، پایاننامه کارشناسی ارشد، دانشگاه اصفهان.
- 5- کریمی خواجهلنگی، صادق (۱۳۸۵)، «ارتباط انسو با نوسانات الگوی بارش ماهانه در ایران مطالعه موردی شهر کرد»، مجله نیوار، شماره ۶۰ و ۶۱، صص ۵۳-۴۳.
- 6- نظامالسادات، سید محمد جعفر و احمد رضا، قاسمی (۱۳۸۳)، «تأثیر نوسانهای دمای سطح آب دریای خزر بر بارش فصول زمستان و بهار نواحی شمالی و جنوب غربی ایران»، مجله علوم و فنون کشاورزی و منابع طبیعی سال هشتم، شماره ۴، ص ۱.
- 7- نظامالسادات، سید محمد جعفر و امین، شیروانی (۱۳۸۵)، «پیش‌بینی بارش زمستانه مناطق جنوبی ایران با استفاده از دمای سطح آب خلیج فارس: مدل‌سازی تحلیل همبستگی متعارف»، مجله علمی- کشاورزی، جلد ۲۹، شماره ۲، صص ۶۵ و ۶۶.
- 8- خورشید دوست، علیمحمد و قویدل، یوسف (۱۳۸۵)، «ارزیابی تأثیر انسو بر تغییرپذیری بارش‌های فصلی استان آذربایجان با استفاده از شاخص چندمتغیره انسو»، فصلنامه پژوهش‌های جغرافیایی، شماره ۵۷، صص ۲۶۱۴.
- 9- خوشرفتار، فرامرز (۱۳۷۷)، «پدیده انسو و تأثیر آن بر بارش ایران»، فصلنامه تحقیقات جغرافیایی، شماره ۴، صص ۱۴۰۱-۲۱.
- 10- Nguyen. Tinh Dang, Cintia. Uvo & Dan. Rosbjerg (2007), “Short Communication Relationship between The tropical Pacific and Indian Ocean Sea-Surface Temperature and Monthly Precipitation over the Central Highland”, Vietnam, *Int. J. Climatol.*, 27: 1349-1454.



- 11- Rowell. David P., (2002), “The Impact of Mediterranean SSTs on the Sahelian Rainfall Seasonal”, *Journal of Climate*, Volume 16, Issue 5, pp 849-862.
- 12- Singh. G.P & Jai-Ho. Oh, (2007), “Impact of Indian Ocean Sea-Surface Temperature Anomaly on Indian Summer Monsoon Precipitation Using a Regional Climate Model”, *Int. J. Climatol*, 27: 1455-1465.
- 13- Spence, Jacqueline M, Michael A. Taylor and A. Anthony. Chen (2004), “The Effect of Concurrent Sea-surface Temperature Anomalies in the Tropical Pacific and Atlantic on Caribbean Rainfall, *Int. J. Climatol*”, 24: 1531-1541.
- 14- Yaun. Yaun, Wen. Zhou, Johnny C.L. Chan & Chongyin Li (2008), “Impacts of the Basin-Wide Indian Ocean SSTA on the South China Sea Summer Monsoon Onset”, (2008), Int.J.Climatol, 28:1579-1587.
- 15- Williams, C.J.R, D.R. Kniveton & R. Layberry (2007), “Climatic and Oceanic Associations with Daily Rainfall Extremes Over Southern Africa”, *Int. J. Climatol*, 27: 93-108.
- 16- Millana, M, Estrelaa. M.J. and V. Casellesb, (1995), “Torrential Precipitations on the Spanish East Coast: The Role of the Mediterranean Sea Surface Temperature”, *Atmospheric Research*, Volume 36, Issues 1-2, pp 1-16.
- 17- [http://gcmd.nasa.gov/records/GCMD\\_REYNOLDS\\_SST.html](http://gcmd.nasa.gov/records/GCMD_REYNOLDS_SST.html)
- 18- <http://www.cdc.noaa.gov/cgi-bin/DataAccess>.
- 19- <http://sourceforge.net/project/showfiles.hp>.